

第
十
四
版
圖
解

第十四版圖解

(第一圖)

外輪山熔岩(有珠岳)上部ノ顯微鏡寫眞ナリ石基ハ主ニ褐色「ガラス」ヨリ成リ少量ノ長石微晶、輝石微晶、磁鐵礦及ビ種々ノ晶子ヲ含ム斑晶トシテ斜長石、輝石及ビ紫蘇輝石アリ、石目ハ多少有孔質ナリ

(第二圖)

中央火口丘熔岩(紫蘇輝石富士岩)多少「トラキチツク」構造ヲ示シ石基中ノ小サキ黒線ハ紫蘇輝石微柱ノ分解シテ褐鐵礦トナリシモノナリ

(第三圖)

及ビ 第四圖) 外輪山熔岩下部(橄欖石複輝石富士岩)ナリ橄欖石ノ周圍ニ紫蘇輝石ノ周生セル有様ヲ示ス第三圖ノ如キハ明カニ紫蘇輝石ガ橄欖石ノ
軸化様トシテ生ジタル有様ヲ示ス

(第五圖)

洞爺湖中ノ島ヲ形タル角閃石紫蘇輝石石英富士岩ナリ

(第六圖)

ハ同上石英富士岩中ノ岩漿分泌ノ部分ナリ「ヲリゴクレース」長石、角閃石、紫蘇輝石等ガ良ク結晶シ其間ヲ僅量ノ褐色「ガラス」ガ充填ス稀ニ橄欖石アリ軸化作用ヲ受ケテ軸化様トシテ角閃石ノ集合體ヲ生ゼリ

F 斜長石、A 輝石、Hy 紫蘇輝石、O 橄欖石

Explanation of PL. XIV.

Fig. 1. Photomicrograph of the upper part of the Somma lava. Volcano Usu (two-pyroxene andesite).

F=Anorthite. A=Augite. Hy=Hypersthene.

Fig. 2. Photomicrograph of the central-cone lava, Volcano Usu (hypersthene-andesite.)

F=Oligoclase. Hy=Hypersthene.

Fig. 3. and 4. Photomicrographs of the lower part of the Somma lava, Volcano Usu (olivine-bearing two-pyroxene andesite).

F=Anorthite. :O=Olivine with hypersthene-margin. Hy=Hypersthene.
A=Augite.

Fig. 5. Hornblende-hypersthene dacite forming the islands in Tōya Lake.

Fig. 6. Secretion of the same rock.

H=Hornblende. F=Oligoclase. Hy=Hypersthene. A=Augite. O=Olivine with hornblende-margin (resorption-tim).

Pl.XIV. Fig. 2. (圖二第)



Fig. 1. (圖一第)

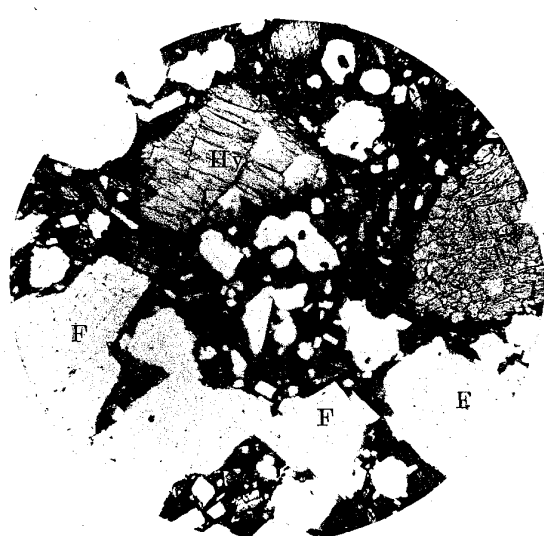


Fig. 4. (圖四第) \parallel Nicols $\times 30$

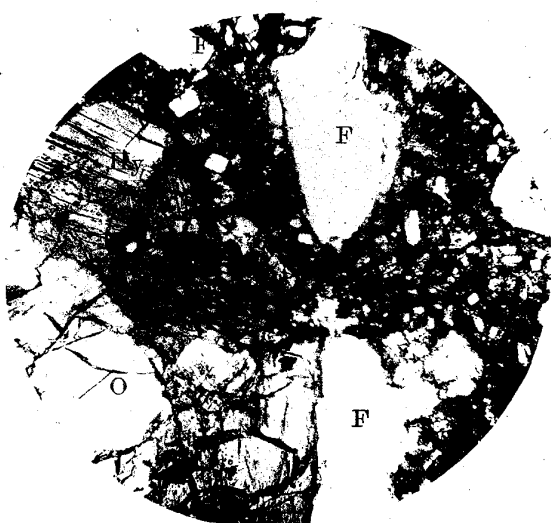


Fig. 3. (圖三第) \parallel Nicols $\times 30$

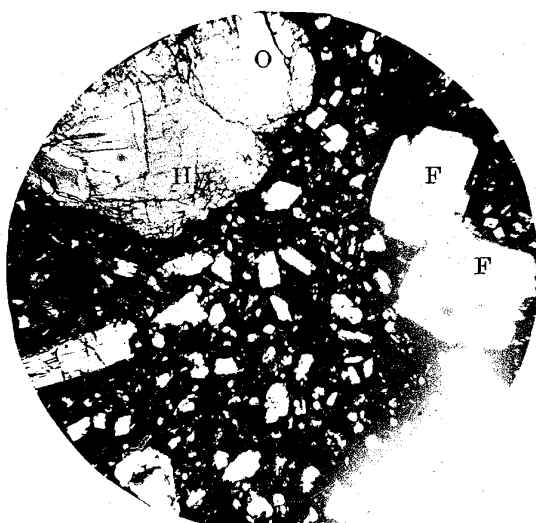


Fig. 6. (圖六第) \parallel Nicols $\times 30$

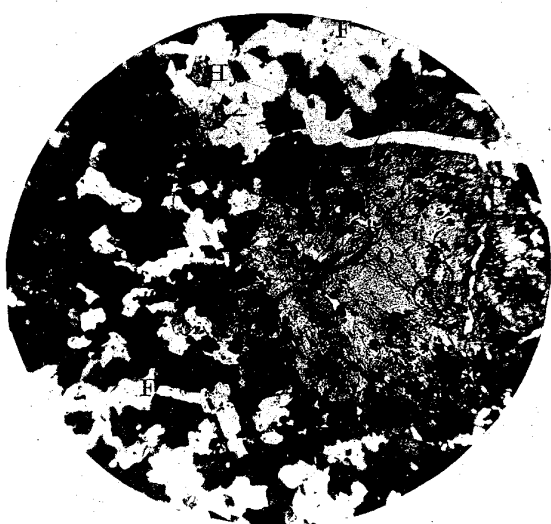


Fig. 5. (圖五第) \parallel Nicols $\times 30$

